

4. Fouriertransformation

4.1 Definition, Existenz

Einer Zeitfunktion $u(t)$ kann eine Fouriertransformierte $U(j\omega) = \mathbf{F}\{u(t)\}$ zugeordnet werden.

Die Definitionsgleichung (*Analysegleichung*) der Fouriertransformation lautet

$$U(j\omega) = \mathbf{F}\{u(t)\} := \int_{-\infty}^{\infty} u(t) e^{-j\omega t} dt \quad (4.1)$$

Kurzform

$$u(t) \leftrightarrow U(j\omega) = \mathbf{F}\{u(t)\}$$

(Fourier-) Spektrum mit Dimension Amplitude · Zeit
[also Vs, wenn $u(t)$ eine Spannung in V und t die Zeit in s ist].

4.1 Definition, Existenz

Fouriertransformation

$$U(j\omega) = \mathbf{F}\{u(t)\} := \int_{-\infty}^{\infty} u(t) e^{-j\omega t} dt$$

Fourierreihe

$$U_k = \frac{1}{T} \int_{-T/2}^{T/2} u(t) \cdot e^{-jk\omega_p t} dt \quad k = 0, \pm 1, \pm 2, \dots$$

Die Analysegleichung ergibt sich (bis auf den Vorfaktor $1/T$) auch aus der Definitionsgleichung für die Fourierkoeffizienten U_k , indem man $T \rightarrow \infty$ ansetzt, also keine Wiederholung des Signals (Grundintervalls) „zuläßt“. Dann wird $u_p(t)$ zu $u(t)$, $\omega_p = 2\pi/T$ wird zu $d\omega$ und $k\omega_p$ zu ω .

分析方程（除以 $1/T$ 的比例因子）也可以通过对傅里叶系数 U_k 的定义方程进行分析，将 $T \rightarrow \infty$ ，即不允许信号（基本间隔）的重复。然后 $u_p(t)$ 变为 $u(t)$ ， $p = 2/T$ 变为 $d\omega$ ， $k\omega_p$ 变为 ω 。

4.1 Definition, Existenz

Durch das Fourierintegral wird für jedes vorgegebene ω die Ähnlichkeit des Signals $u(t)$ mit dem Exponentialsignal $e^{-j\omega t}$ festgestellt, denn $U(j\omega)$ ist die Kreuzkorrelierte von $u(t)$ und $v(t) = e^{-j\omega t}$:

$$U(j\omega) = \int_{-\infty}^{\infty} u(t) \cdot v(t) dt = r_{uv}(0)$$

(4.2)

Existenz

Eine Fouriertransformierte $U(j\omega)$ existiert (d.h. ist endlich), wenn $u(t)$ absolut integrierbar ist, denn aus

Gl. (4.1)
$$U(j\omega) = \mathbf{F}\{u(t)\} := \int_{-\infty}^{\infty} u(t) e^{-j\omega t} dt$$

folgt dafür mit der Ungleichung

$$\left| \int x(t) dt \right| \leq \int |x(t)| dt$$

und mit
$$|e^{-j\omega t}| = 1$$

die Forderung

$$\int_{-\infty}^{\infty} |u(t)| dt < \infty$$

$$\int_{-\infty}^{\infty} |u(t)| dt < \infty$$

Existenzforderung

Offensichtlich werden aber mit der obigen hinreichenden Bedingung viele in der Elektrotechnik wichtige Funktionen nicht erfaßt

- *so kann danach z.B. keine Fouriertransformierte einer Gleichspannung angegeben werden!*

显然，通过上述充分条件，许多在电气工程中重要的函数都无法被涵盖。例如，无法给出直流电压的傅里叶变换！在第 4.5 节中，通过分布理论，甚至可以将这些函数关联到傅里叶变换。

Abschnitt 4.5. - über Distributionen kann auch solchen Funktionen eine Fouriertransformierte zugeordnet werden

Synthesegleichung

合成方程：如果存在傅里叶变换，那么逆傅里叶变换会给出傅里叶逆变换。

Existiert die Fouriertransformierte, so liefert die inverse Fouriertransformation die Fourierrücktransformierte

$$u(t) = \mathbf{F}^{-1} \{ U(j\omega) \} := \frac{1}{2\pi} \int_{-\infty}^{\infty} U(j\omega) e^{j\omega t} d\omega \quad \text{Synthese}$$

(4.5)

$$U(j\omega) = \mathbf{F} \{ u(t) \} := \int_{-\infty}^{\infty} u(t) e^{-j\omega t} dt \quad \text{Analysegleichung}$$

$$u(t) = \mathbf{F}^{-1} \{ U(j\omega) \} := \frac{1}{2\pi} \int_{-\infty}^{\infty} U(j\omega) e^{j\omega t} d\omega$$

Ein Signal $u(t)$ kann also näherungsweise als unendliche Summe von gewichteten Exponentialschwingungen mit Kreisfrequenz $m\Delta\omega$ interpretiert werden:

这意味着一个信号 $u(t)$ 可以被近似看作是无限多个权重指数振荡的和，每个振荡都有一个特定的圆频率 $m\Delta\omega$

$$u(t) \approx \frac{1}{2\pi} \lim_{\Delta\omega \rightarrow 0} \sum_{m=-\infty}^{\infty} U(jm\Delta\omega) e^{jm\Delta\omega t} \Delta\omega \quad (4.6)$$

Eine Funktion $u(t)$ kann fehlerfrei als eine unendlich dichte Überlagerung von gewichteten Exponentialschwingungen mit Kreisfrequenz ω dargestellt werden. $U(j\omega)$ bestimmt Amplitude und Phase jeder Teilschwingung $e^{j\omega t}$

$u(t)$ andererseits auch als eine unendlich dichte Überlagerung von Diracimpulsen

Phase jeder Teilschwingung $e^{j\omega t}$: 这表明一个函数 $u(t)$ 可以被完美地表示为无限密集的加权指数振荡的叠加，每个振荡有一个特定的圆频率 ω ，并且 $U(j\omega)$ 确定了每个分量振荡 $e^{j\omega t}$ 的振幅和相位。
 "u(t) andererseits auch als eine unendlich dichte Überlagerung von Diracimpulsen": 这是信号处理中的一个概念，表明信号也可以被视为狄拉克冲击（Dirac delta function）的无限密集的叠加，这是在数学上描述连续信号的一种方法。

Beispiel: Rechteckfunktion

Die Fouriertransformierte der Rechteckfunktion lässt sich einfach berechnen:

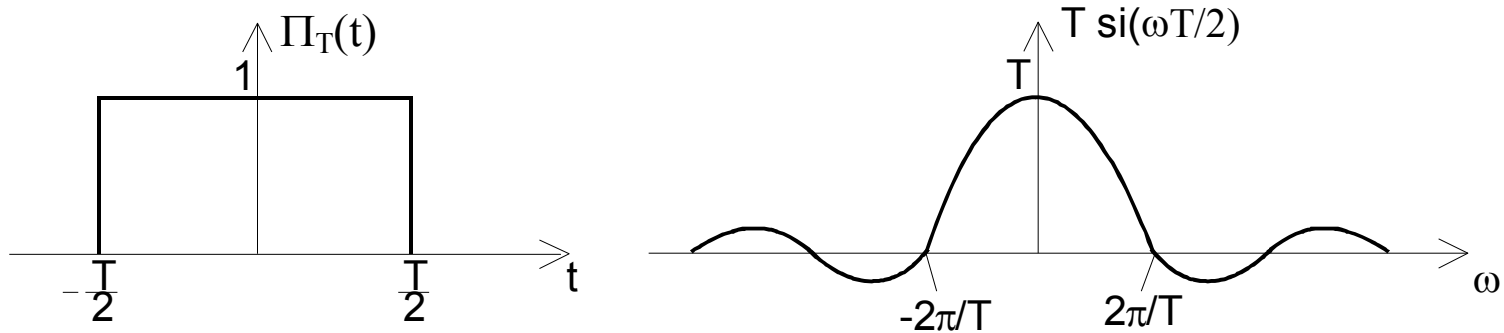
$$\mathbf{F}\{\Pi_T(t)\} := \int_{-\infty}^{\infty} \Pi_T(t) e^{-j\omega t} dt = \int_{-T/2}^{T/2} \cos(\omega t) dt = T \operatorname{si}\left(\frac{\omega T}{2}\right) \quad (4.7)$$

Es ergibt sich damit das Transformationspaar

$$\Pi_T(t) \leftrightarrow T \operatorname{si}\left(\frac{\omega T}{2}\right) \quad (4.8)$$

Beispiel (Fortsetzung)

Darstellung von Realteil ausreichend! – da Imaginärteil = 0!!!



Spektrum einer Rechteckfunktion ist offensichtlich unendlich ausgedehnt.

矩形函数的频谱显然是无限延伸的。然而，通常通过将频谱仅考虑到第一个零点来定义一个截止频率。这种所谓的零带宽

Oft wird aber eine Grenzfrequenz definiert, indem das Spektrum nur bis zum ersten Nulldurchgang berücksichtigt wird. Diese sogenannte Null-Bandbreite ist

$$B_0 = \frac{1}{T} \quad [\text{Hz}]$$

$$\omega_0 = 2\pi/T$$

(4.9)

Unschärferelation der Nachrichtentechnik

通信技术的不确定关系

零带宽 × 脉冲持续时间 的乘积也被称为通信技术中的不确定关系（或时间规律）。

它还可以通过许多其他函数和边界频率的定义来证明。

Das Produkt

Null-Bandbreite × Impulsdauer

$$B_0 \cdot T = 1 = \frac{\omega_0}{2\pi} \cdot T$$

wird auch *Unschärferelation* (oder *Zeitgesetz*) der *Nachrichtentechnik* genannt.

Sie kann auch mit vielen anderen Funktionen und Definitionen der Grenzfrequenz nachgewiesen werden.

4.2 Eigenschaften

Amplituden- und Phasenspektrum:

Die Fouriertransformierte $U(j\omega)$ hat Real- und Imaginäranteile:

$$U(j\omega) = \operatorname{Re}\{U(j\omega)\} + j \operatorname{Im}\{U(j\omega)\} = R_u(\omega) + j I_u(\omega)$$

(4.10)

Amplituden- und Phasenspektrum

Üblicherweise werden stattdessen das *Amplitudenspektrum* $|U(j\omega)|$ und das *Phasenspektrum* $\varphi_u(\omega)$ verwendet:

$$U(j\omega) = A_u(\omega) \cdot e^{j\varphi_u(\omega)} \quad (4.11)$$

mit

$$A_u(\omega) = |U(j\omega)| = \sqrt{R_u^2(\omega) + I_u^2(\omega)} \quad (4.12)$$

und

$$\varphi_u(\omega) = \arg\{U(j\omega)\} = \arctan \frac{I_u(\omega)}{R_u(\omega)} \quad (4.13)$$

Gleichung mit \arctan gilt - da dessen Wertebereich nur das Intervall $(-\pi/2, \pi/2)$ ist - nur bedingt.

Amplituden- und Phasenspektrum:

Aus der Analysegleichung der FT folgt:

$$R_u(\omega) = \int_{-\infty}^{+\infty} u(t) \cos(\omega t) dt \quad \text{und} \quad I_u(\omega) = \int_{-\infty}^{+\infty} u(t) \sin(\omega t) dt$$

(4.14)

Für Reellwertige Funktionen $u(t)$ (die wir in dieser Vorlesung fast immer voraussetzen) gilt:

$\operatorname{Re}\{U(j\omega)\}$ eine *gerade Funktion* und $\operatorname{Im}\{U(j\omega)\}$ eine *ungerade Funktion*:

$$R_u(\omega) = R_u(-\omega) \quad \text{und} \quad I_u(\omega) = -I_u(-\omega)$$

(4.15)

Amplituden- und Phasenspektrum:

Damit gilt für reellwertige $u(t)$:

$$U(-j\omega) = U^*(j\omega) \quad (4.16)$$

Gleiches gilt für den Amplituden- bzw. Phasengang:

$$A_u(\omega) = A_u(-\omega) \quad \text{und} \quad \varphi_u(\omega) = -\varphi_u(-\omega)$$

Symmetrie!!!

(4.17)

Frage: warum eigentlich?

Beispiel: Rechteckfunktion (Fortsetzung)

Amplitudenspektrum und Phasenspektrum. Ein negativer Wert einer Fouriertransformierten ergibt sich durch eine Phase $\varphi(\omega) = \pi$ oder $\varphi(\omega) = -\pi$ (denn $e^{j\pi} = e^{-j\pi} = -1$).

Wir wählen den Wert $-\pi$. Für negative Frequenzen gilt dann $j(-\omega) = -j(\omega) = \pi$.

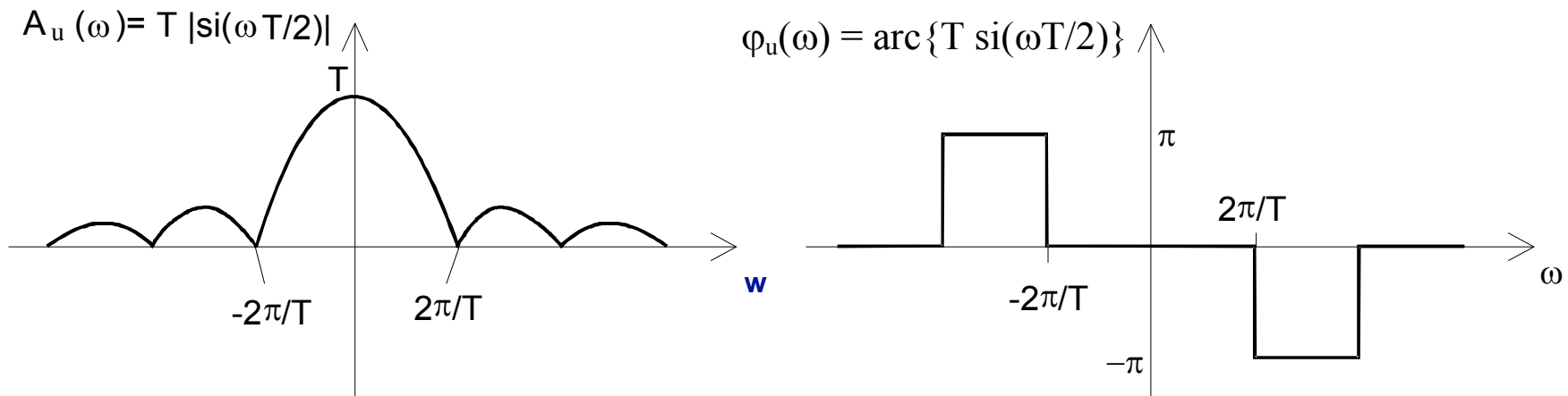


Bild 4.2: Amplituden- und Phasengang der Rechteckfunktion

Linearität:

Mit

$$u(t) \leftrightarrow U(j\omega) \text{ und } v(t) \leftrightarrow V(j\omega)$$

gilt bei Linearität

$$a u(t) + b v(t) \leftrightarrow a U(j\omega) + b V(j\omega) \quad (4.18)$$

Das Spektrum der gewichteten Summe mehrerer Signale ist also gleich der gewichteten Summe der Einzelspektren.

Zeitverschiebung:

Bei Verschiebung eines Signals $u(t)$ um t_0 entsteht ein Transformationspaar

$$v(t) = u(t - t_0) \leftrightarrow V(j\omega) = U(j\omega) e^{-j\omega t_0} \quad (4.19)$$

Eine Verzögerung der Zeitfunktion um t_0 entspricht einer Drehung des Spektrums um $e^{-j\omega t_0}$, d.h. es entsteht eine zusätzliche lineare Phasendrehung $\varphi(\omega) = -\omega t_0$.

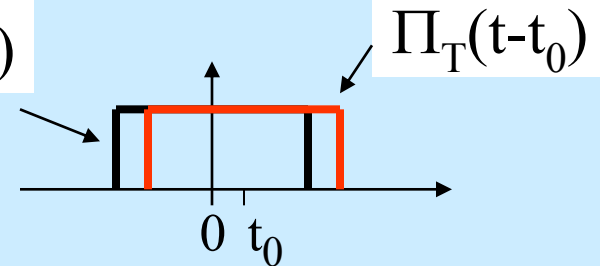
Das Amplitudenspektrum ändert sich nicht!

Beispiel: Rechteckfunktion (Fortsetzung)

Aus

$$v(t) = \Pi_T(t-t_0)$$

$\Pi_T(t)$



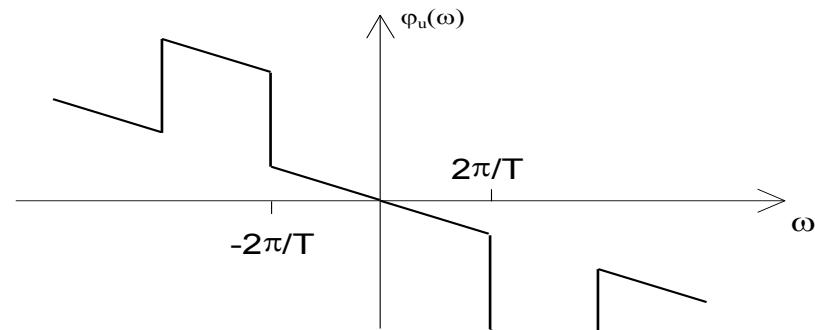
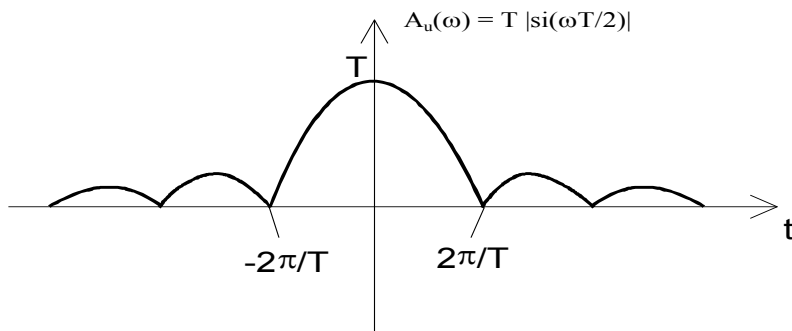
folgt

$$V(j\omega) = T \operatorname{si}(\omega T/2) e^{-j\omega t_0},$$

also

$$A_v(j\omega) = A_u(j\omega),$$

$$\varphi_v(j\omega) = \varphi_u(j\omega) - \omega t_0.$$



Das Rechteck ist immer noch ein Rechteck – bei linearer Phasenverzerrung

Zeitinvertierung:

Für ein zeitinvertiertes Signal $u(-t)$ gilt:

$$u(-t) \leftrightarrow U^*(j\omega) = U(-j\omega) \quad (4.20)$$

Der Amplitudengang ändert sich also *nicht*.

Frequenzverschiebung (Modulationstheorem):

Wird ein Spektrum um eine Kreisfrequenz ω_0 verschoben, so entsteht ein Transformationspaar

当一个信号的频谱在频域内沿频率轴移动了特定的距离时, 就发生了频谱偏移。这可以通过将信号乘以一个复指数函数来实现, 该复指数函数的指数部分包含了偏移的圆频率

$$u(t) e^{j\omega_0 t} \leftrightarrow U[j(\omega - \omega_0)] \quad (4.21)$$

Eine Multiplikation der Zeitfunktion mit $e^{j\omega_0 t}$ (komplex!) entspricht also einer Verschiebung des Spektrums um ω_0 .

“时域函数乘以复指数 $e^{j\omega_0 t}$ 相当于频域中的频谱移动了 ω_0 。”

最后一段德文提到:

“为了得到一个实时信号, 除了 $U(j\omega - \omega_0)$, 还必须将 $U(j\omega + \omega_0)$ 加到频谱中。”

Um ein reelles Zeitsignal entstehen zu lassen, muß zum Spektrum zusätzlich ein Anteil $U[j(\omega + \omega_0)]$ addiert werden.

Beispiel: Cosinusburst

Für den Cosinusburst

$$u(t) = \cos(\omega_1 t) \Pi_T(t) \quad (4.22)$$

ergibt sich mit

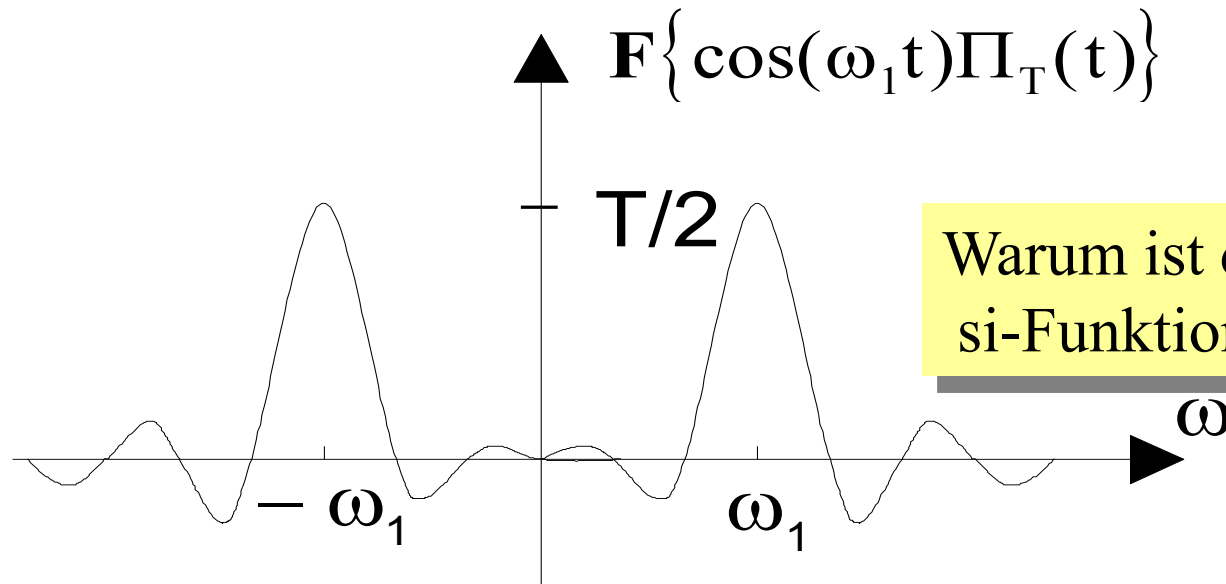
$$\cos(\omega_1 t) = \frac{1}{2} (e^{j\omega_1 t} + e^{-j\omega_1 t}) \quad (4.23)$$

bei Anwendung der Eigenschaften der Linearität und Frequenzverschiebung das Transformationspaar

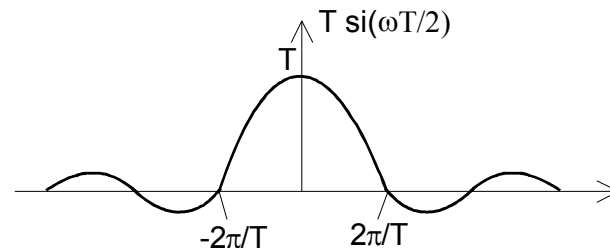
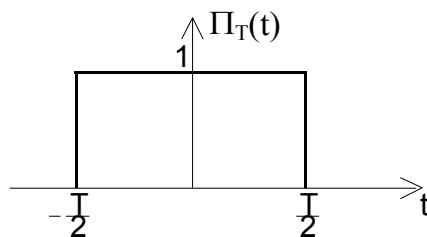
$$\cos(\omega_1 t) \cdot \Pi_T(t) \leftrightarrow \frac{T}{2} \left[\text{si} \left(\frac{T}{2} (\omega - \omega_1) \right) + \text{si} \left(\frac{T}{2} (\omega + \omega_1) \right) \right] \quad (4.24)$$

Spektrale Darstellung eines Cosinusbursts

$$\cos(\omega_1 t) \cdot \Pi_T(t) \leftrightarrow \frac{T}{2} \left[\text{si}\left(\frac{T}{2}(\omega - \omega_1)\right) + \text{si}\left(\frac{T}{2}(\omega + \omega_1)\right) \right]$$



Warum ist das keine
si-Funktion links und rechts?



$$\Pi_T(t) \leftrightarrow T \text{ si}\left(\frac{\omega T}{2}\right)$$

Maßstabsänderung (Ähnlichkeitssatz)

Maßstabsänderung (相似性定理)

时间域的缩短对应着振幅的减小和频率域中谱的扩展，反之亦然：模糊不确定原理!!!

Einer Verkürzung im Zeitbereich entspricht eine Verringerung der Amplitude und eine Verbreiterung des Spektrums im Frequenzbereich und umgekehrt:

$$u(at) \leftrightarrow \frac{1}{|a|} U\left(j \frac{\omega}{a}\right)$$

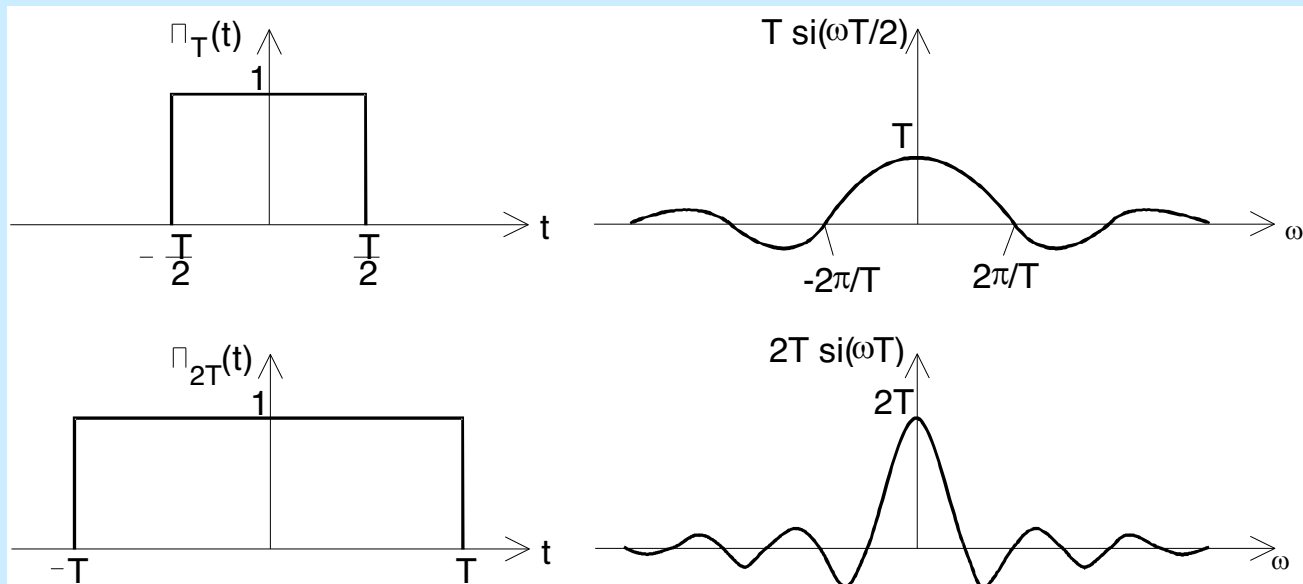
Unschärferelation!!!

(4.25)

Beispiel: Rechteckfunktion (Fortsetzung)

Für $a = 1/2$ ergibt sich aus Gl. (4.25) mit Gl. (4.8) das Transformationspaar

$$\Pi_T(t/2) = \Pi_{2T}(t) \leftrightarrow 2T \operatorname{si}(\omega T) \quad (4.26)$$



Welche Spektren erwarten Sie, wenn $T \rightarrow 0$ bzw. $T \rightarrow \infty$ geht?

Symmetrie (Vertauschungssatz):

Für ein Signal $u(t) \leftrightarrow U(j\omega)$ gilt

$$U(+t) \leftrightarrow 2\pi u(-j\omega)$$

(4.27)

这表示如果你将一个函数的时间变量和频率变量互换，并对应调整变换中的常数因子，你会得到原始函数的傅里叶变换的一个版本。

图片下方的德语文本解释说：“时间和频率的依赖性交换后，会得到类似的函数行为。”这意味着在时域和频域之间存在一种对称性，你可以通过在这两个域之间转换来利用这种对称性。

Bei einer Vertauschung von Zeit- und Frequenzabhängigkeit entstehen also wieder gleichartige Funktionsverläufe.

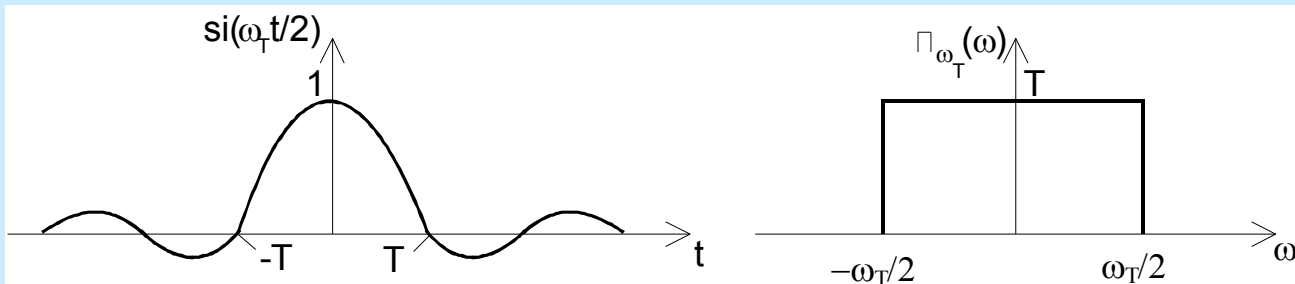
Beispiel: Rechteckfunktion (Fortsetzung)

Aus Gl. (4.8)

$$\Pi_T(t) \leftrightarrow T \operatorname{si}\left(\frac{\omega T}{2}\right)$$

ergibt sich durch Ersetzen von T durch $\omega_T = 2\pi/T$ und Anwendung des Vertauschungssatzes das Transformationspaar

$$\operatorname{si}\left(\omega_T \frac{t}{2}\right) \leftrightarrow T \cdot \Pi_{\omega_T}(\omega) \quad (4.28)$$



Faltung im Zeitbereich:

Für eine Faltung (siehe Abschnitt 6.5) der beiden Zeitfunktionen $u(t) \leftrightarrow U(j\omega)$ und $h(t) \leftrightarrow H(j\omega)$, also für

$$v(t) = u(t) * h(t) = \int_{-\infty}^{+\infty} u(\tau) h(t - \tau) d\tau \quad (4.29)$$

gilt, daß sich die Fourierspektren multiplizieren:

$$V(j\omega) = U(j\omega) H(j\omega) \quad (4.30)$$

Beispiel: Dreieckfunktion

Eine symmetrische Dreieckfunktion $\Lambda_T(t)$ der Höhe 1 und der Breite T lässt sich als Faltung von zwei Rechteckfunktionen darstellen:

$$\Lambda(t) = \sqrt{\frac{2}{T}} \Pi_{T/2}(t) * \sqrt{\frac{2}{T}} \Pi_{T/2}(t) \quad (4.31)$$

Damit ergibt sich die Fouriertransformierte als Quadrat der Fouriertransformierten der die Dreieckfunktion erzeugenden Rechteckfunktion:

Frage: Weshalb eigentlich?

$$\mathbf{F}\{\Lambda_T(t)\} = \frac{T}{2} \left[\text{si}\left(\frac{\omega T}{4}\right) \right]^2 \quad (4.32)$$

Produktbildung im Zeitbereich:

Werden zwei Zeitsignale multipliziert, so ergibt sich die Fouriertransformierte des Produkts durch Faltung der Spektren der beiden beteiligten Produktterme:

$$u(t) h(t) \leftrightarrow \frac{1}{2\pi} U(j\omega) * H(j\omega) \quad (4.33)$$

Beispiel: Cosinusburst (Fortsetzung)

Da ein Cosinusburst

$$z(t) = \cos(\omega_1 t) \Pi_T(t) \quad (4.34)$$

eine Produktform hat, können wir das Spektrum auch durch Faltung der Spektren der beiden Produktterme erhalten.

Wir werden im Abschnitt 4.5. - Fouriertransformation und Distributionen - ableiten, daß das Cosinussignal ein Spektrum hat, das aus zwei Deltaimpulsen bei $\pm\omega_1$ besteht:

$$\cos(\omega_1 t) \leftrightarrow \pi [\delta(\omega - \omega_1) + \delta(\omega + \omega_1)] \quad (4.35)$$

因为一个余弦波脉冲

$$z(t) = \cos(\omega_1 t) \Pi_T(t)$$

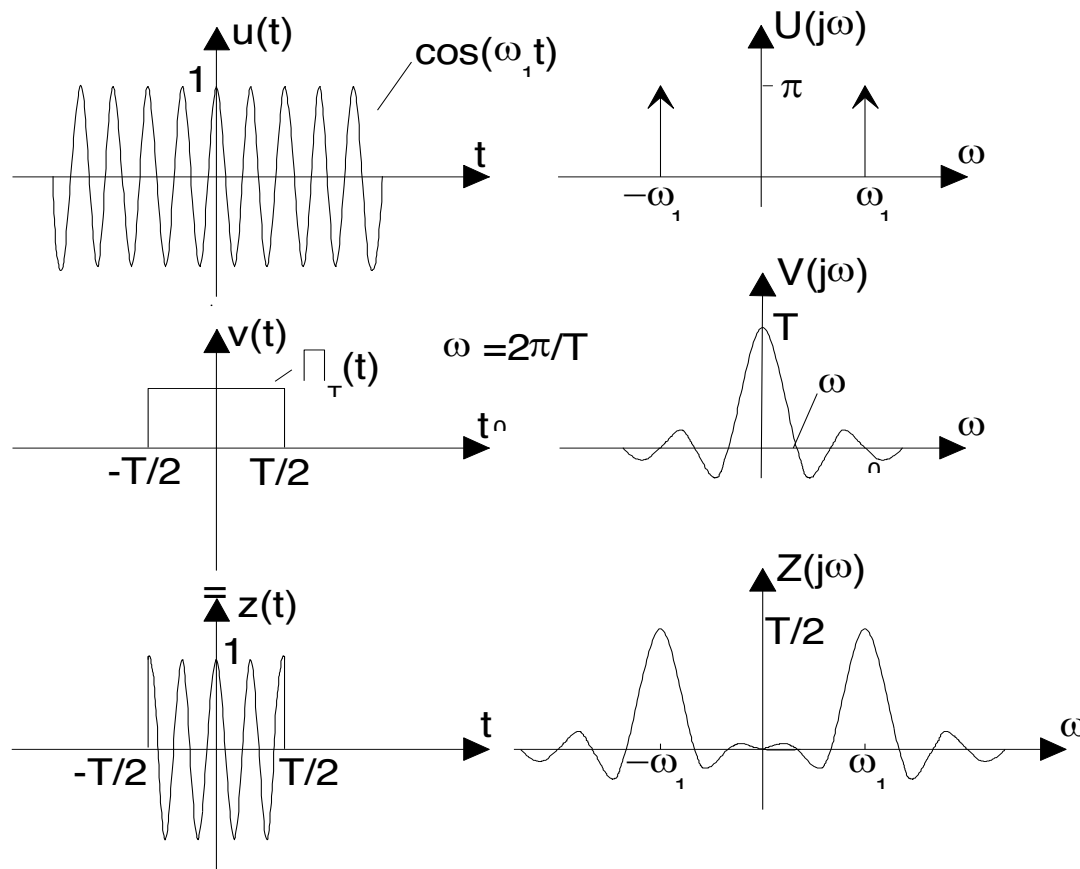
具有乘积形式，我们也可以通过两个乘数的频谱的卷积来得到整个信号的频谱。

我们将在第4.5节 - 傅里叶变换和分布 - 推导出余弦信号具有两个在 $\pm\omega_1$ 处的 δ 函数组成的频谱：

$$\cos(\omega_1 t) \leftrightarrow \pi [\delta(\omega - \omega_1) + \delta(\omega + \omega_1)]$$

这个等式展示了时间域中的余弦波信号 $\cos(\omega_1 t)$ 与其频域中的表示形式之间的关系。在频域中，这个信号被表示为两个在 ω_1 和 $-\omega_1$ 处的狄拉克 δ 函数，每个 δ 函数前都有一个因子 π 。这表示信号中有两个频率成分，分别对应于正的和负的 ω_1 ，这与余弦波的频域特性相一致，它在 ω_1 和 $-\omega_1$ 处有频谱线。

Aus Gl. (4.8) und Gl. (4.33) folgt dann, daß die Fouriertransformierte eines Cosinusbursts eine Überlagerung von zwei bei $\pm\omega_1$ auftretenden si-Funktionen ist.



Ableitung:

Eine Ableitung einer Funktion im Zeitbereich entspricht einer Multiplikation des Spektrums mit $j\omega$.

$$\frac{d}{dt} u(t) \leftrightarrow j\omega U(j\omega) \quad (4.36)$$

Bei einer n-ten Ableitung muß entsprechend mit $(j\omega)^n$ multipliziert werden. Auf diese Weise werden aus Differentialgleichungen algebraische Funktionen.

Integration:

Hat ein Signal $u(t) \leftrightarrow U(j\omega)$ keinen Gleichanteil, $U(0) = 0$, so wird

$$\int_{-\infty}^t u(\tau) d\tau \leftrightarrow \frac{1}{j\omega} U(j\omega) \quad (4.37)$$

Bei einem vorhandenen Gleichanteil ergibt sich ein zusätzlicher Frequenzanteil: $\pi U(0)\delta(\omega)$

Parsevalsches Theorem:

Die Energie kann im Zeitbereich oder im Frequenzbereich berechnet werden:

$$W_u = \int_{-\infty}^{\infty} u^2(t) dt = \frac{1}{2\pi} \int_{-\infty}^{\infty} |U(j\omega)|^2 d\omega$$

(4.38)

$|U(j\omega)|^2$ wird als *spektrale Energiedichte* oder als *Energiedichtespektrum* bezeichnet.

Verteilung der Energie über der Frequenz

Parsevalsches Theorem:

$$W_u = \int_{-\infty}^{\infty} u^2(t) dt = \frac{1}{2\pi} \int_{-\infty}^{\infty} |U(j\omega)|^2 d\omega$$

Der Term $|U(j\omega)|^2 d\omega$ ist ein Maß für den Energieanteil im Bereich $(\omega, \omega+d\omega)$.

Im Frequenzbereich (ω_1, ω_2) liegt daher die Energie

$$W_u(\omega_1, \omega_2) = \frac{1}{2\pi} \cdot 2 \int_{\omega_1}^{\omega_2} |U(j\omega)|^2 d\omega ; \quad \omega_1, \omega_2 \geq 0$$

(4.39)

AKF und Energiedichtespektrum:

Die Energie-Autokorrelationsfunktion und das Energiedichtespektrum eines Energiesignals sind Fouriertransformierte zueinander (siehe Abschnitt 4.9.4. - Wiener-Khintchine Beziehung).

AKF und Energie-Dichtespektrum:

Energie-Signale: Energie-Autokorrelationsfunktion und Energie-Dichtespektrum sind zueinander Fourier-Transformierte (siehe Abschnitt 4.9.4 - Wiener-Khintchine-Beziehung).

$$r_{uu}(\tau) \leftrightarrow |U(j\omega)|^2$$

(4.45)

4.4 Hilberttransformierte

Geg: Funktionen bzw. Signale u mit $u(t) = 0$ für $t < 0$
(*rechtsseitige* oder *kausale* Funktionen)

Frage: welche Besonderheiten zeigen die Spektren solcher Signale

$u(t)$ als Summe aus einer geraden und einer ungeraden Funktion:

$$u(t) = u_g(t) + u_u(t) \quad (4.48)$$

mit

$$u_g(t) = [u(t) + u(-t)] \quad \text{und} \quad u_u(t) = [u(t) - u(-t)] \quad (4.49)$$

4.4 Hilberttransformierte

$$u(t) = u_g(t) + u_u(t) \quad (4.48)$$

mit

$$u_g(t) = [u(t) + u(-t)] \quad \text{und} \quad u_u(t) = [u(t) - u(-t)] \quad (4.49)$$

Für $t > 0$ ist damit $u_g(t) = u_u(t)$, für $t < 0$ ist $u_g(t) = -u_u(t)$,

d.h. es gilt

$$u_u(t) = u_g(t) \cdot \operatorname{sgn}(t).$$

(Dies gilt auch für $t = 0$, selbst wenn $u(t)$ dort unstetig ist!).

4.4 Hilberttransformierte

Die Spektrum einer geraden Funktion sind rein reell (das Signal hat nur cos-Anteile),

das einer ungeraden rein imaginär (das Signal hat nur sin-Anteile),

d.h.

$$\forall \omega \text{ ist } U_g(j\omega) \in \mathbf{R} \text{ und } j \cdot U_u(j\omega) \in \mathbf{R},$$

weiterhin ist natürlich

$$U(j\omega) = U_g(j\omega) + U_u(j\omega).$$

4.4 Hilberttransformierte

$$u_g(t) \cdot \text{sgn}(t) = u_u(t) \quad \leftrightarrow \quad 1/(2\pi) U_g(j\omega) * F\{\text{sgn}(t)\} = U_u(j\omega).$$

$$\text{mit } F\{\text{sgn}(t)\} = 2/(j\omega)$$

$$U_u(j\omega) = 1/\pi U_g(j\omega) * 1/(j\omega)$$

Man sagt, Real- und Imaginärteil des Spektrums $U(j\omega)$ von $u(t)$ - nichts anderes sind ja U_g und U_u - sind Hilberttransformierte (nach dem Mathematiker David Hilbert) zueinander.

4.4 Hilberttransformierte

Definiert ist sie als Faltung der gegebenen Funktion mit x^{-1} ,

d.h. wenn g die Hilberttransformierte von f ist, gilt

$$g(x) = f(x) * \frac{1}{x} = \int_{-\infty}^{\infty} \frac{f(y)}{x - y} dy$$

$$U_u(j\omega) = 1/\pi U_g(j\omega) * 1/(j\omega)$$

4.5 Fouriertransformation und Distributionen

Wegen:

$$\int_{-\infty}^{\infty} |u(t)| dt < \infty$$

können

- sinusförmigen Signalen
- Konstantwertfunktionen
- Sprungfunktionen

keine Fouriertransformierten zugeordnet werden!

4.5 Fouriertransformation und Distributionen

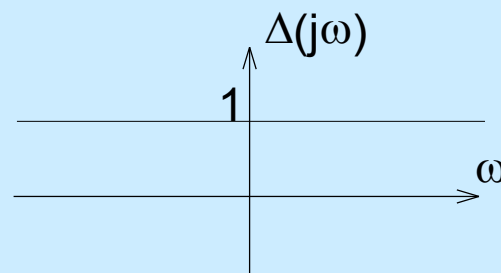
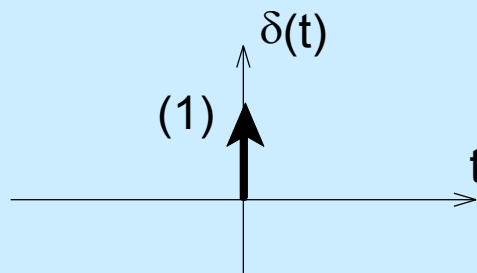
Deltaimpuls: $\Delta(j\omega) := \mathbf{F}\{\delta(t)\}$

$$\mathbf{F}\{\delta(t)\} = \int_{-\infty}^{\infty} \delta(t) e^{-j\omega t} dt = 1$$

$\delta(t)$

\leftrightarrow

1



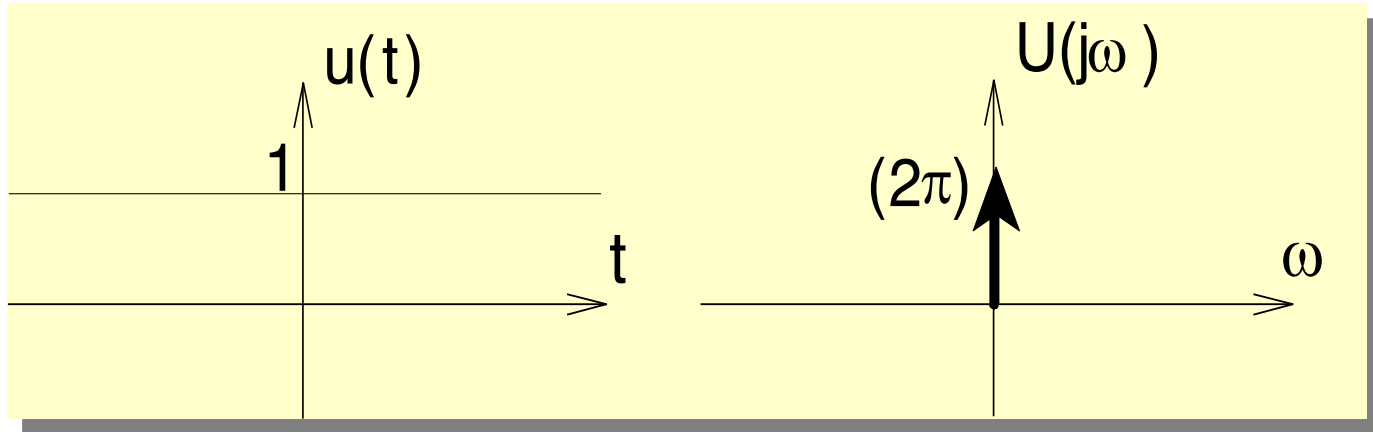
4.5 Konstantwertfunktion

Zeitverschiebung:

$$\delta(t - t_0) \leftrightarrow e^{-j\omega t_0}$$

Symmetrie:

$$e^{j\omega_0 t} \leftrightarrow 2\pi\delta(\omega - \omega_0)$$



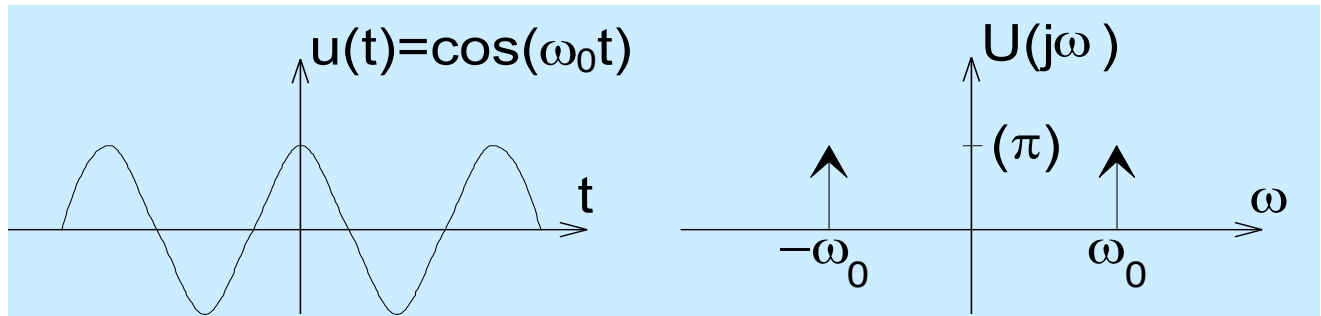
4.5 Sinus- und Cosinussignale

Eulersche Formel:

$$\cos(\omega_0 t) = \frac{e^{j\omega_0 t} + e^{-j\omega_0 t}}{2}$$
$$\sin(\omega_0 t) = \frac{e^{j\omega_0 t} - e^{-j\omega_0 t}}{2j}$$

$$\cos(\omega_0 t) \leftrightarrow \pi [\delta(\omega + \omega_0) + \delta(\omega - \omega_0)]$$

$$\sin(\omega_0 t) \leftrightarrow j\pi [-\delta(\omega - \omega_0) + \delta(\omega + \omega_0)]$$

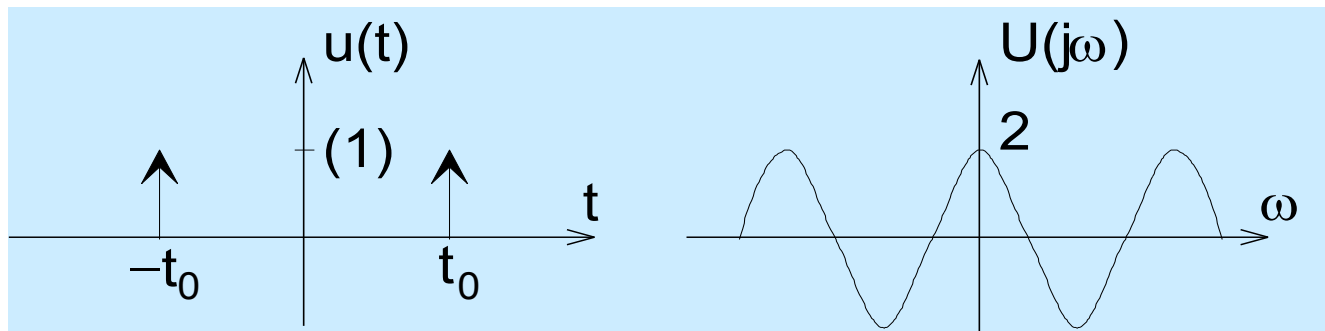


4.5 Sinus- und Cosinussignale

Symmetrie:

$$\delta(t + t_0) + \delta(t - t_0) \leftrightarrow 2 \cos(\omega t_0)$$

$$\delta(t + t_0) - \delta(t - t_0) \leftrightarrow 2j \sin(\omega t_0)$$



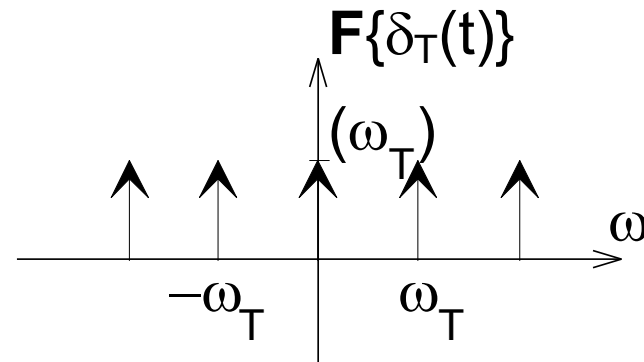
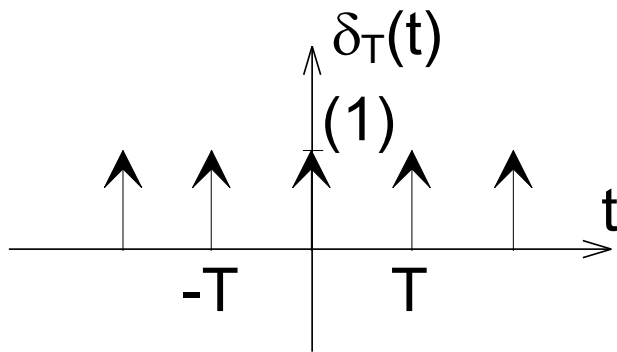
4.5 Deltakamm

Definition:

$$\delta_T(t) = \sum_{k=-\infty}^{\infty} \delta(t - kT)$$

ohne Beweis:

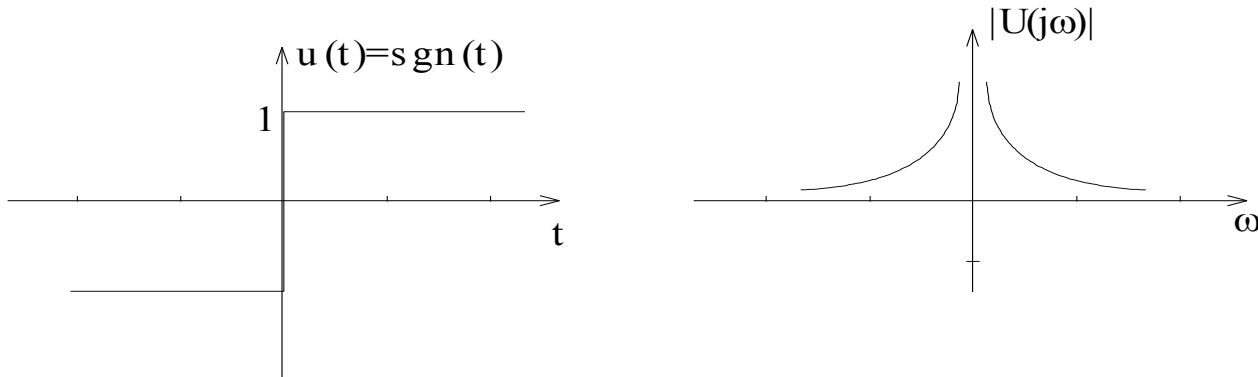
$$\delta_T(t) \leftrightarrow \omega_T \delta_{\omega_T}(\omega)$$



4.5 Signumfunktion / Sprungfunktion

Signumfunktion:

$$\operatorname{sgn}(t) \leftrightarrow \frac{2}{j\omega}$$



Sprungfunktion:

$$\sigma(t) = \frac{1}{2} (1 + \operatorname{sgn}(t))$$

$$\sigma(t) \leftrightarrow \pi \delta(\omega) + \frac{1}{j\omega}$$

4.6 Derivierung zur Bestimmung der Fouriertransformierten

- *Ableitungen* werden *Derivierte* genannt

- Es gilt:

$$\frac{d^n u(t)}{dt^n} \leftrightarrow (j\omega)^n U(j\omega)$$

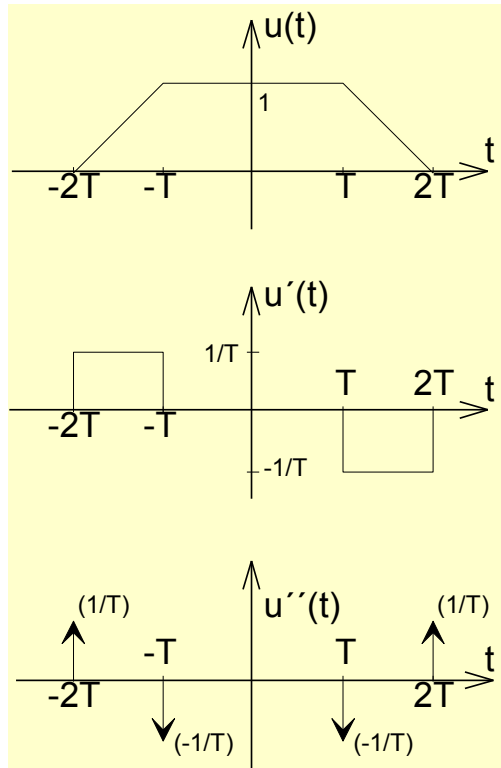
- Besondere Verwendung von:

$$\delta(t) = \frac{d}{dt} \sigma(t) \leftrightarrow 1$$

4.6 Derivierung: Beispiel

$$\begin{aligned}
 &= T \cdot (1 + 2 \cos \omega T) \cdot \frac{\sin^2(\frac{\omega T}{2})}{\omega^2 T^2} \\
 &= \frac{-2}{T \cdot \omega^2 j^2} (1 + 2 \cos \omega T) \cdot 2 \sin^2(\frac{\omega T}{2}) \\
 &= \frac{-2}{T \cdot \omega^2 j^2} (1 + 2 \cos \omega T) (1 - 2 \cos \omega T)
 \end{aligned}$$

- Beispiel Trapezfunktion:



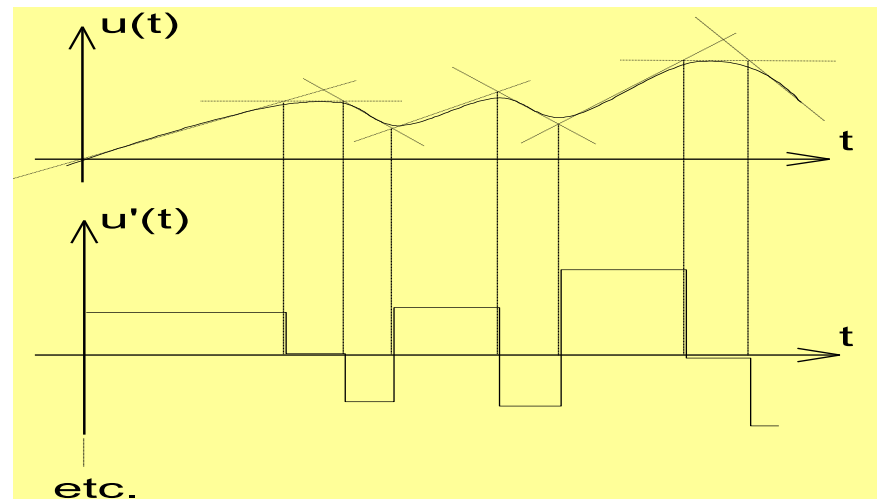
$$u''(t) = \frac{1}{T} [\delta(t + 2T) - \delta(t + T) - \delta(t - T) + \delta(t - 2T)]$$

$$\begin{aligned}
 (j\omega)^2 U(j\omega) &= \frac{1}{T} (e^{j\omega 2T} - e^{j\omega T} - e^{-j\omega T} + e^{-j\omega 2T}) \\
 &= \frac{2}{T} (\cos 2\omega T - \cos \omega T)
 \end{aligned}$$

$$U(j\omega) = T(1 + 2 \cos \omega T) \operatorname{sinc}^2\left(\frac{\omega T}{2}\right)$$

4.6 Transformation durch Geradenapproximation

- Approximation beliebiger Signale durch Geraden
 - Transformation durch Derivierung



- Integration:
 - Division durch $(j\omega)$
 - Vorherige Abspaltung des Gleichanteils
 - Berücksichtigung als $\delta(\omega)$ -Spektrallinie

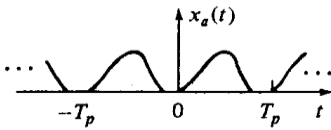
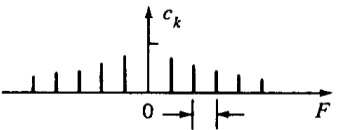
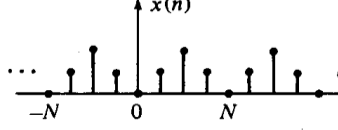
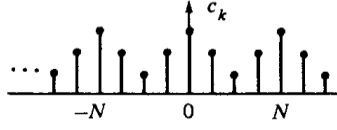
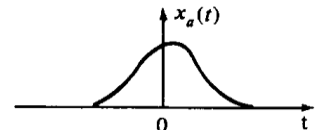
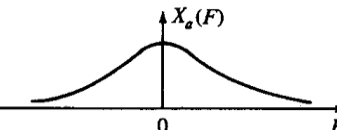
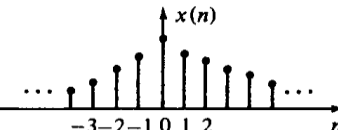
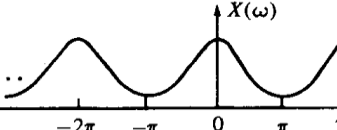
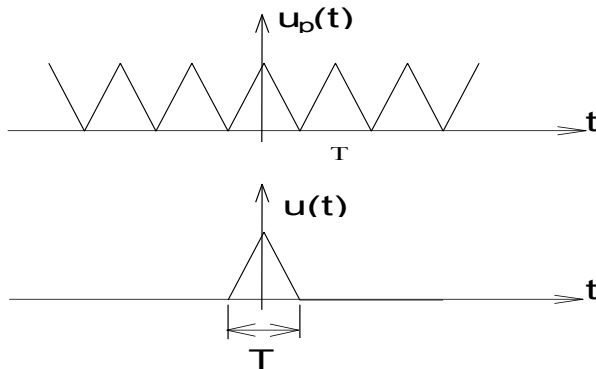
		CONTINUOUS-TIME SIGNALS		DISCRETE-TIME SIGNALS	
		TIME-DOMAIN	FREQUENCY-DOMAIN	TIME-DOMAIN	FREQUENCY-DOMAIN
PERIODIC SIGNALS	FOURIER SERIES	 $c_k = \frac{1}{T_p} \int_{T_p} x_a(t) e^{-j2\pi k F_0 t} dt$	 $F_0 = \frac{1}{T_p}$	 $c_k = \frac{1}{N} \sum_{n=0}^{N-1} x(n) e^{-j\frac{2\pi}{N} kn}$	 $x(n) = \sum_{k=0}^{N-1} c_k e^{j\frac{2\pi}{N} kn}$
		CONTINUOUS AND PERIODIC	DISCRETE AND APERIODIC	DISCRETE AND PERIODIC	DISCRETE AND PERIODIC
APERIODIC SIGNALS	FOURIER TRANSFORMS	 $X_a(F) = \int_{-\infty}^{\infty} x_a(t) e^{-j2\pi Ft} dt$	 $x_a(t) = \int_{-\infty}^{\infty} X_a(F) e^{j2\pi Ft} dF$	 $X(\omega) = \sum_{n=-\infty}^{\infty} x(n) e^{-j\omega n}$	 $x(n) = \frac{1}{2\pi} \int_{-2\pi}^{2\pi} X(\omega) e^{j\omega n} d\omega$
		CONTINUOUS AND APERIODIC	CONTINUOUS AND APERIODIC	DISCRETE AND APERIODIC	CONTINUOUS AND PERIODIC

FIGURE 4.27 Summary of analysis and synthesis formulas.

4.7 Zeitperiodische Funktionen



$$u_p(t) = u(t) * \delta_T(t) = \sum_{k=-\infty}^{\infty} u(t - kT)$$

$$\omega_p = 2\pi / T$$

$$U_p(j\omega) = U(j\omega) \cdot \omega_p \cdot \delta_{\omega_p}(\omega) = \frac{2\pi}{T} \sum_{k=-\infty}^{\infty} U(jk\omega_p) \cdot \delta(\omega - k\omega_p)$$

Mit den Stützstellen:

$$U(jk\omega_p) = \int_{-T/2}^{T/2} u(t) e^{-jk\omega_p t} dt = T \cdot U_k$$

$$u_p(t) = \frac{1}{T} \sum_{k=-\infty}^{\infty} U(jk\omega_p) e^{-jk\omega_p t}$$

Fourierreihenentwicklung

4.7 Frequenzperiodische Funktionen

$$U_p(j\omega) = U(j\omega) * \delta_{\omega_p}(\omega)$$

Grundbereichsfunktion

Deltakamm

Rücktransformation:

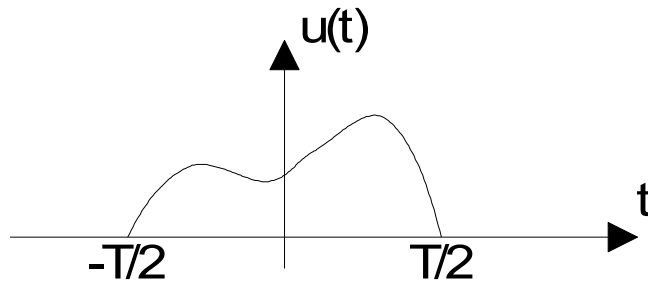
$$\begin{aligned} u_p(t) &= F^{-1}\{U_p(j\omega)\} = 2\pi u(t) \delta_T(t) \\ &= T \sum_{k=-\infty}^{\infty} u(kT) \delta(t - kT) \end{aligned}$$

权重系列的 δ 脉冲

• 采样的时间函数具有周期性谱

- Gewichtete Folge von Deltaimpulsen
- Abgetastete Zeitfunktionen haben ein periodisches Spektrum

4.8 Zeitbegrenzte Funktionen



$$\begin{aligned} u(t) &= u_p(t) \Pi(t) \\ &= [u(t) * \delta_T(t)] \Pi_T(t) \end{aligned}$$

$$\begin{aligned} U(j\omega) &= \frac{1}{2\pi} \left(U(j\omega) \cdot \omega_T \cdot \delta_{\omega_T}(\omega) \right) * T \operatorname{si}\left(\frac{\omega T}{2}\right) & \omega_T = \frac{2\pi}{T} \\ &= \left(\sum_{k=-\infty}^{\infty} U(jk\omega_T) \delta(\omega - k\omega_T) \right) * \operatorname{si}\left(\frac{\omega T}{2}\right) \end{aligned}$$

$$U(j\omega) = \sum_{k=-\infty}^{\infty} U(jk\omega_T) \operatorname{si}\left(\frac{T}{2}(\omega - k\omega_T)\right)$$

➡ kontinuierlich und unendlich ausgedehnt

4.8 Frequenzbegrenzte Funktionen

bandbegrenzten Frequenzfunktion:

$$U(j\omega) = 0 \quad |\omega| > \omega_g$$

analog zu begrenzten Zeitfunktionen:

$$u(t) = \sum_{k=-\infty}^{\infty} u(kT) \operatorname{si}\left(\frac{\omega_T}{2} (t - kT)\right) \quad \omega_T = \frac{2\pi}{T}$$

Rekonstruktion aus äquidistanten Funktionswerten

从等间距函数值重建

4.9 Energiedichtespektrum

Parsevalsches Theorem:

$$W_u = \int_{-\infty}^{\infty} u^2(t) dt = \frac{1}{2\pi} \int_{-\infty}^{\infty} |U(j\omega)|^2 d\omega$$

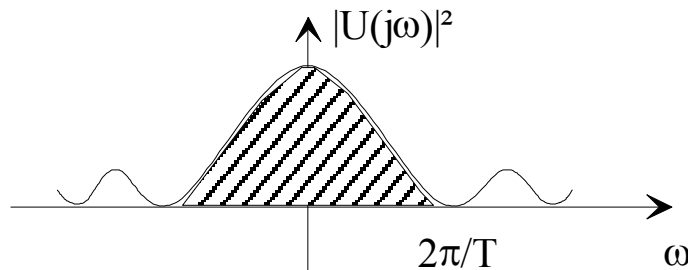
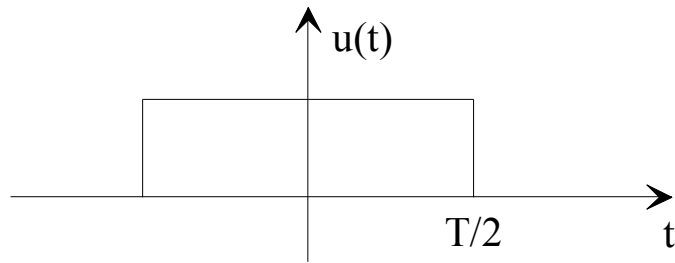
$$|U(j\omega)|^2$$

- Spektrale Energiedichte
- Energiedichtespektrum (EDS)

Energie des Frequenzbereichs (ω_1, ω_2) :

$$W_u(\omega_1, \omega_2) = \frac{1}{2\pi} 2 \int_{\omega_1}^{\omega_2} |U(j\omega)|^2 d\omega \quad \omega_1, \omega_2 \geq 0$$

4.9 Beispiel: Energiedichtespektrum



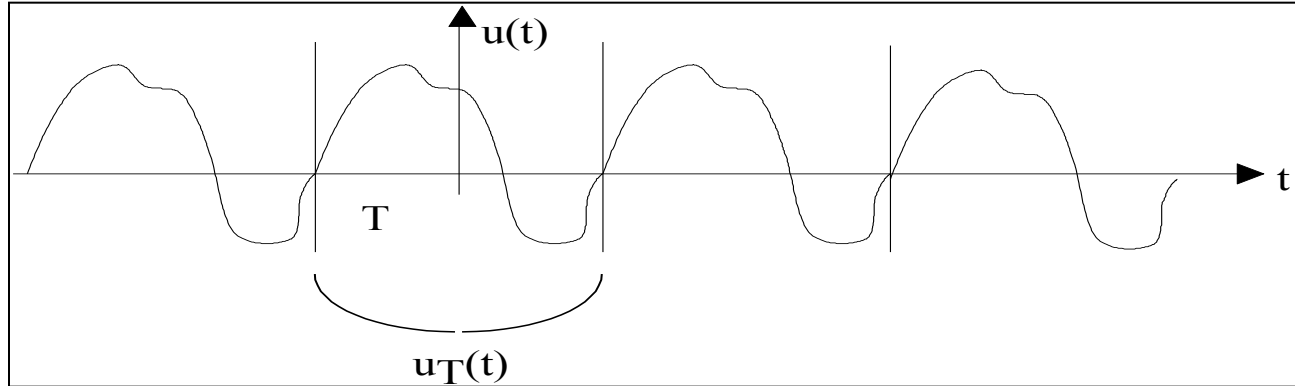
Unschärferelation der Nachrichtentechnik:

$$B_0 = 1/T$$

- Dimension des Energiedichtespektrums: $Ws^2 = Ws/Hz$
- Energie in Ws pro Hz Bandbreite

4.9 Leistungsdichtespektrum

Ausschnitt $u_T(t)$ eines Leistungssignals:



$$u_T(t) = u(t) \cdot \Pi_T(t) \leftrightarrow U_T(j\omega)$$

$$P_{u_T} = \frac{1}{T} \int_T u_T^2(t) dt = \frac{1}{T} W_u(t)$$

$$P_{u_T} = \frac{1}{T} \int_T u_T^2(t) dt = \frac{1}{2\pi} \int_{-\infty}^{\infty} \frac{|U_T(j\omega)|^2}{T} d\omega \quad (\text{Parseval-Theorem})$$

4.9 Kurzzeit Leistungsdichtespektrum (LDS)

Kurzzeit - *EDS*

$$|U_T(j\omega)|^2$$

Kurzzeit - *LDS*

$$S_{u_T}(\omega) = \frac{|U_T(j\omega)|^2}{T}$$

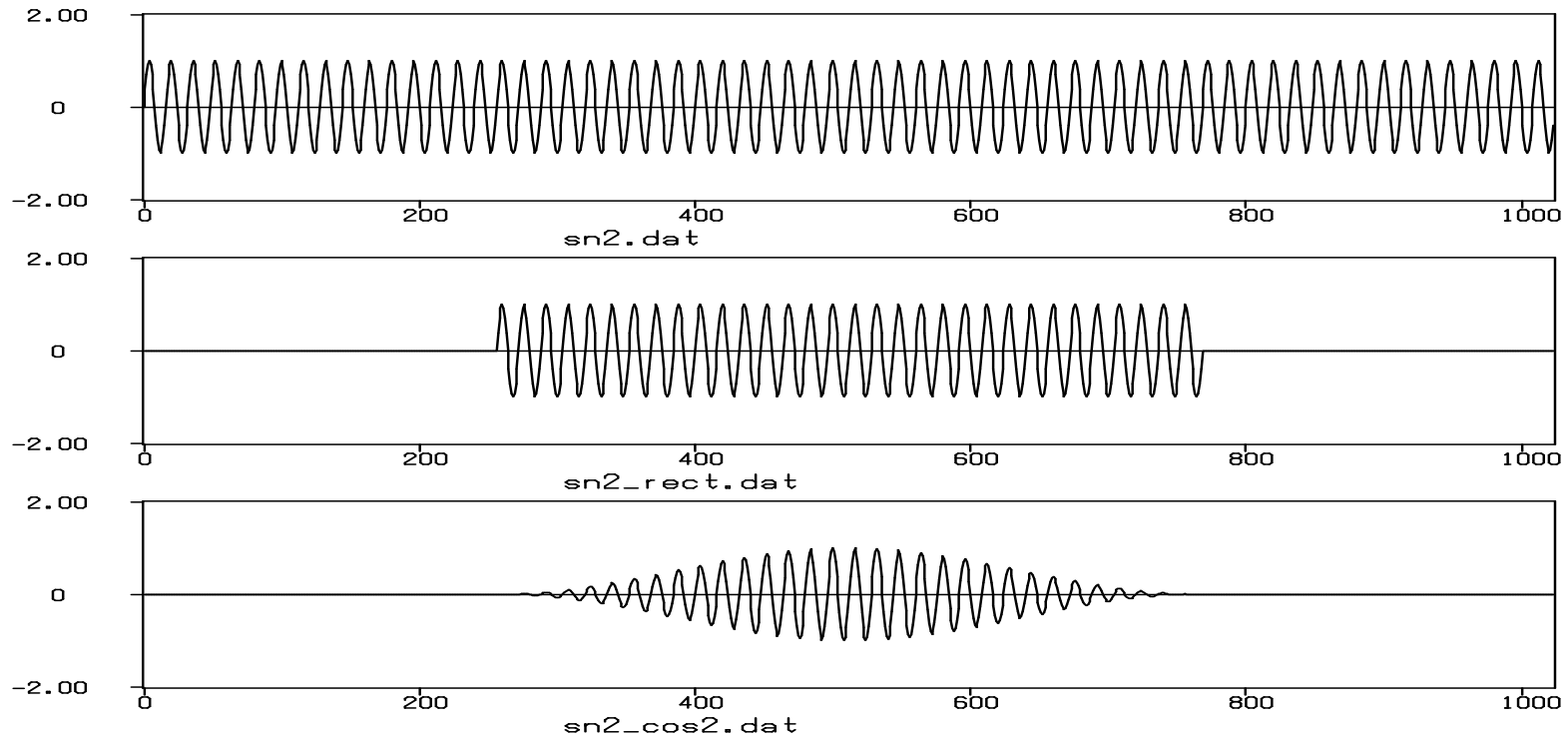
LDS

$$S_{uu}(\omega) = \lim_{T \rightarrow \infty} S_{u_T}(\omega)$$

Leistung im Frequenzbereich (ω_1, ω_2) :

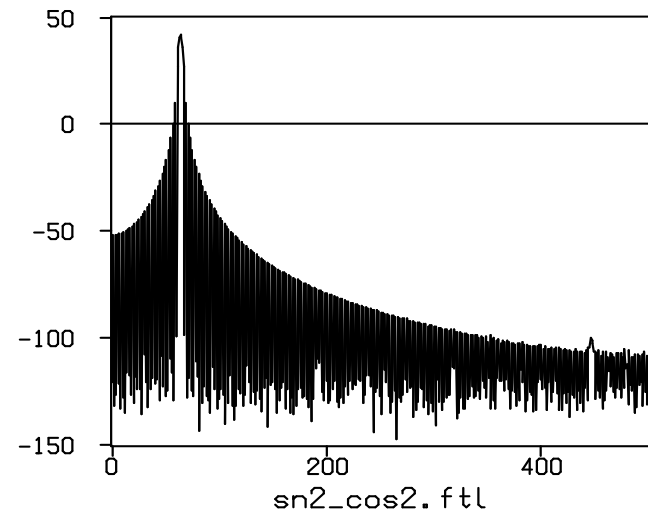
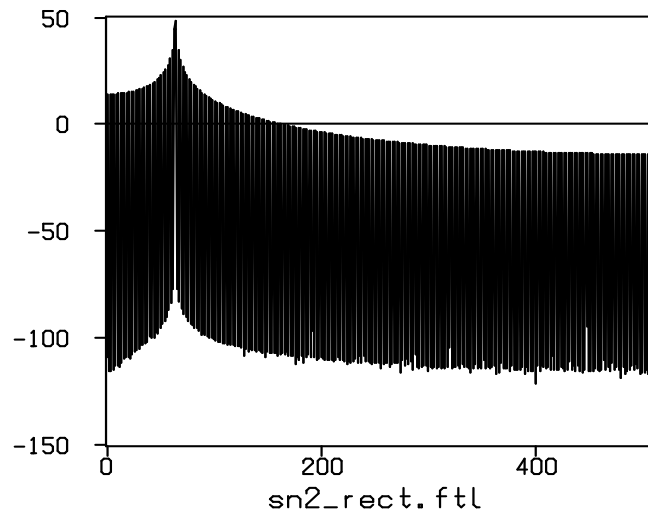
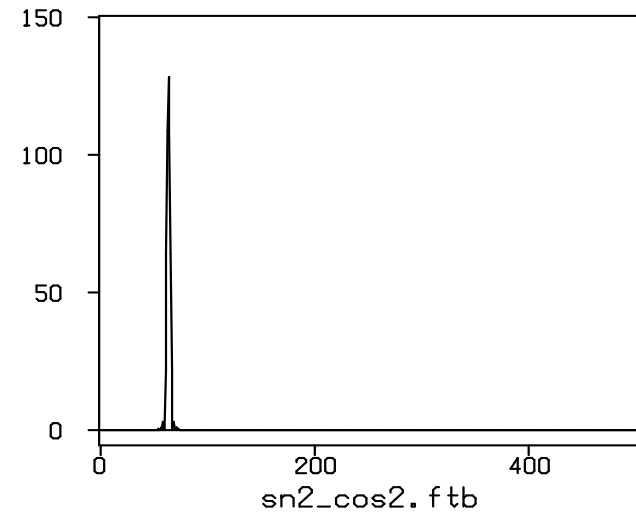
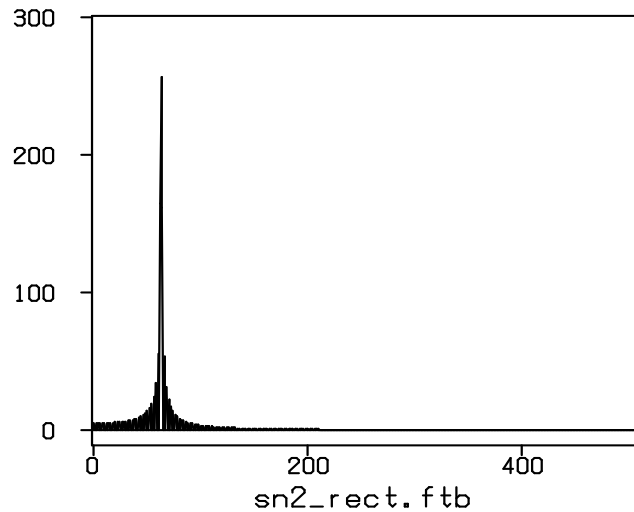
$$P_u(\omega_1, \omega_2) = \frac{1}{\pi} \int_{\omega_1}^{\omega_2} S_{uu}(\omega) d\omega \quad \omega_1, \omega_2 \geq 0$$

4.9 Leistungsdichtespektrum: Beispiel



- Original Signal
- Rechteck-Fensterung
- \cos^2 - Fensterung

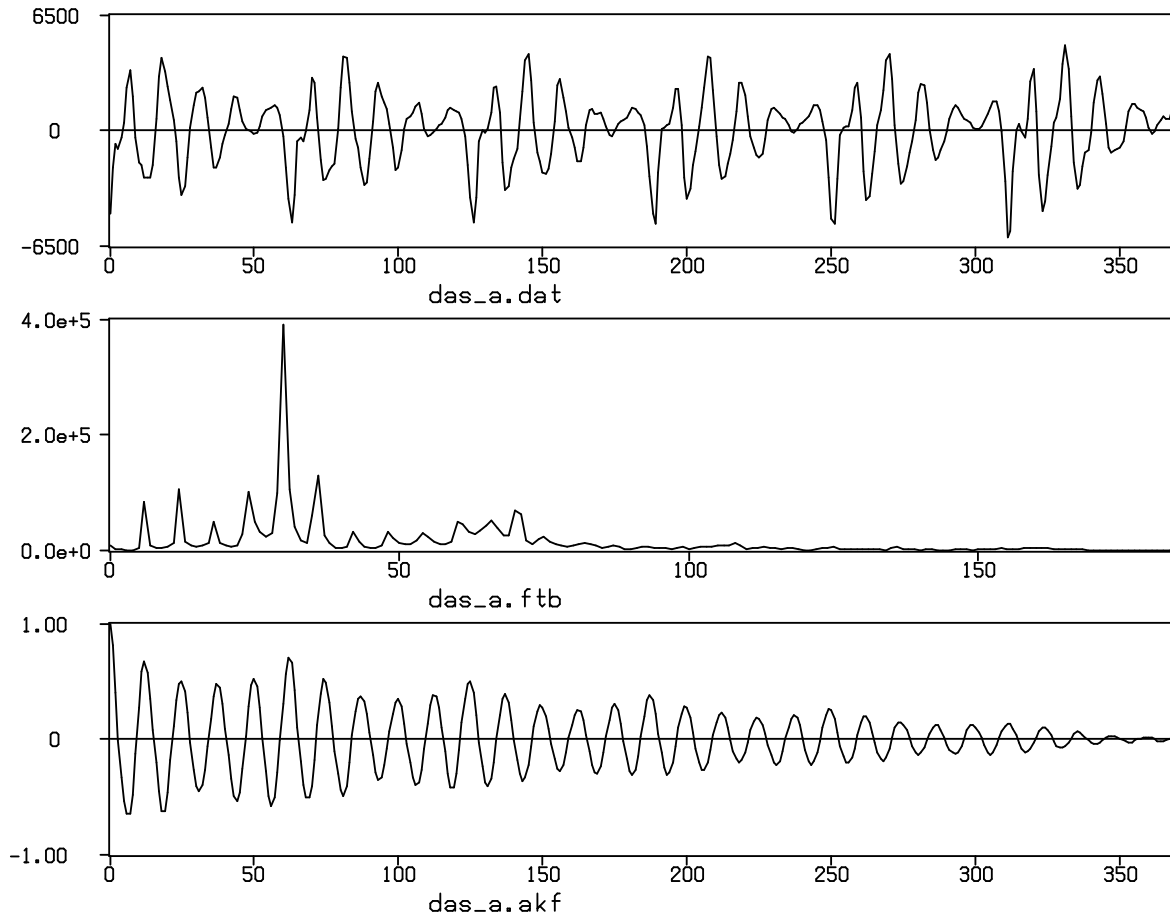
4.9 Auswirkung der Fensterfunktion



rect-Fensterung

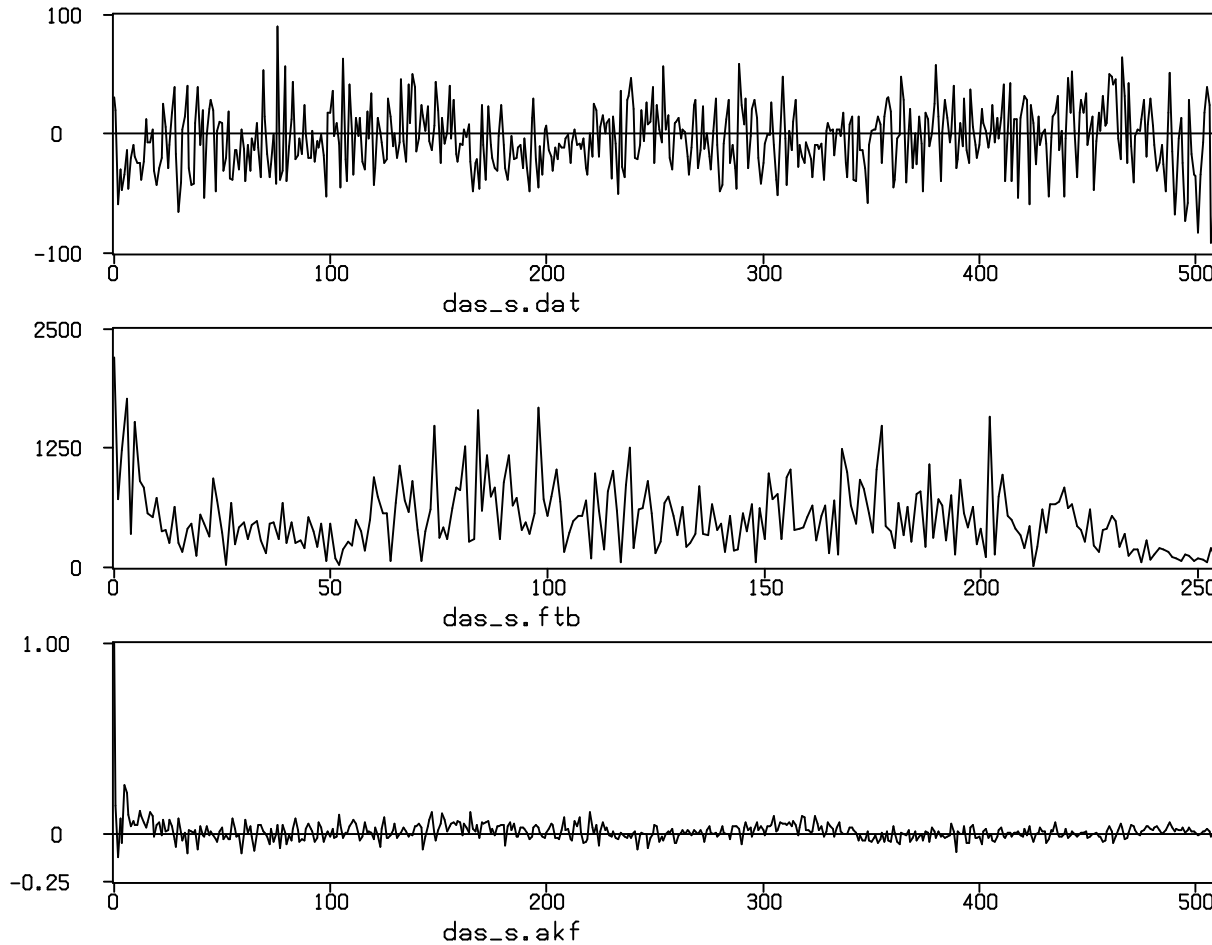
cos²-Fensterung

4.9 Kurzzeit-LDS: stimmhafter Laut



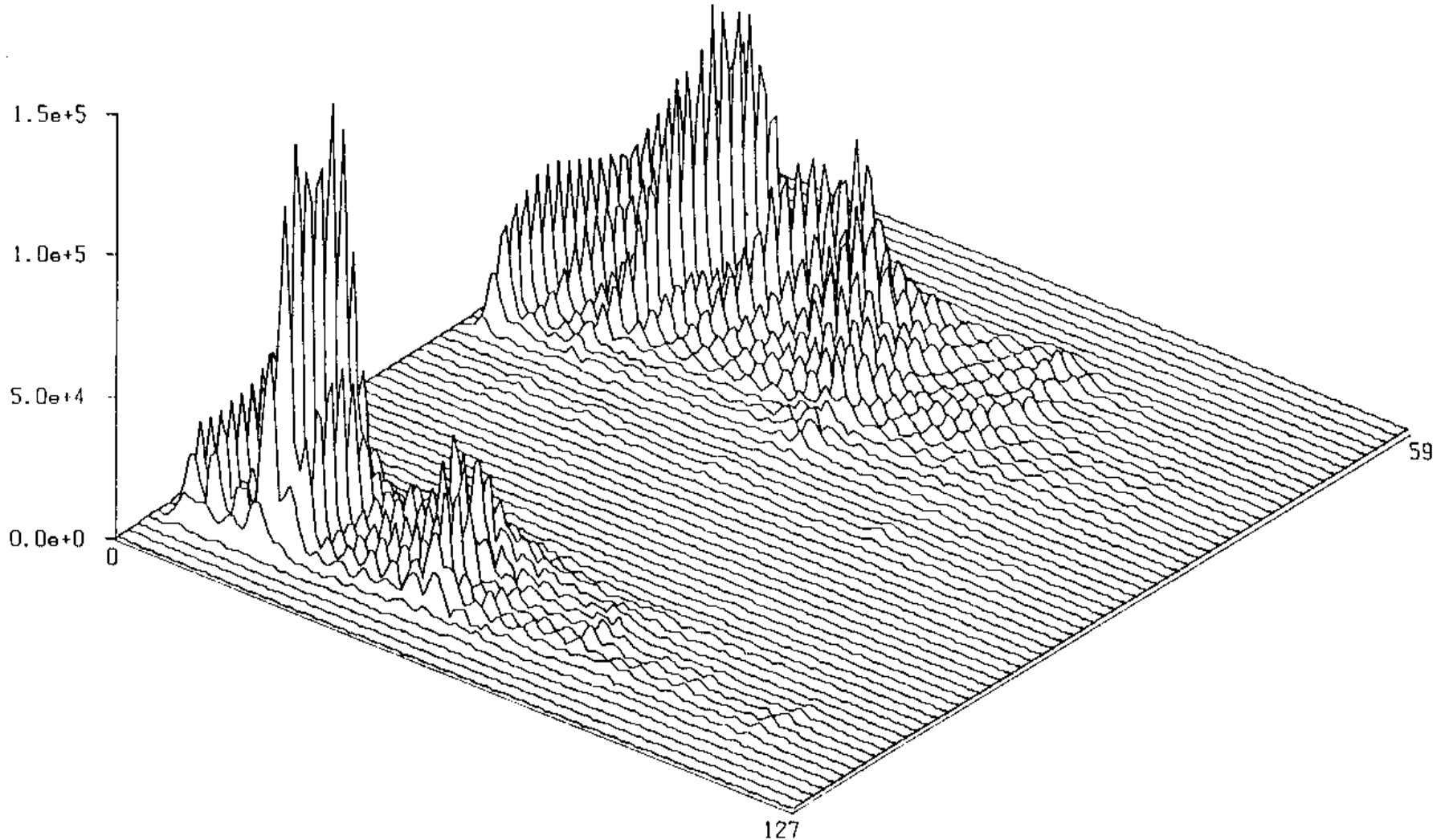
- Original Signal
- Kurzzeit-LDS
- normierte AKF

4.9 Kurzzeit-LDS: stimmloser Laut



- Original Signal
- Kurzzeit-LDS
- normierte AKF

4.9 Kurzzeit-LDS: Wasserfalldarstellung



4.9 Wiener-Khintchine Beziehung

AKF:

$$^E r_{uu}(\tau) = \int_{-\infty}^{\infty} u(t) \cdot u(t + \tau) dt$$

Wiener-Khintchine Beziehung:

$$^E r_{uu}(\tau) \leftrightarrow |U(j\omega)|^2$$

Gilt entsprechend für Leistungssignale:

$$^L r_{uu}(\tau) \leftrightarrow S_{uu}(\omega)$$

4.9 Wiener-Khintchine: Beispiel

Definition „weißes Rauschen“ :

$${}^L r_{uu}(\tau) = \sigma_u^2 \cdot \delta(\tau)$$

$$S_{uu}(\omega) = \sigma_u^2$$

- unendliche Ausdehnung
- alle Frequenzanteile mit gleichem Gewicht